



# CURVAS PARAMÉTRICAS



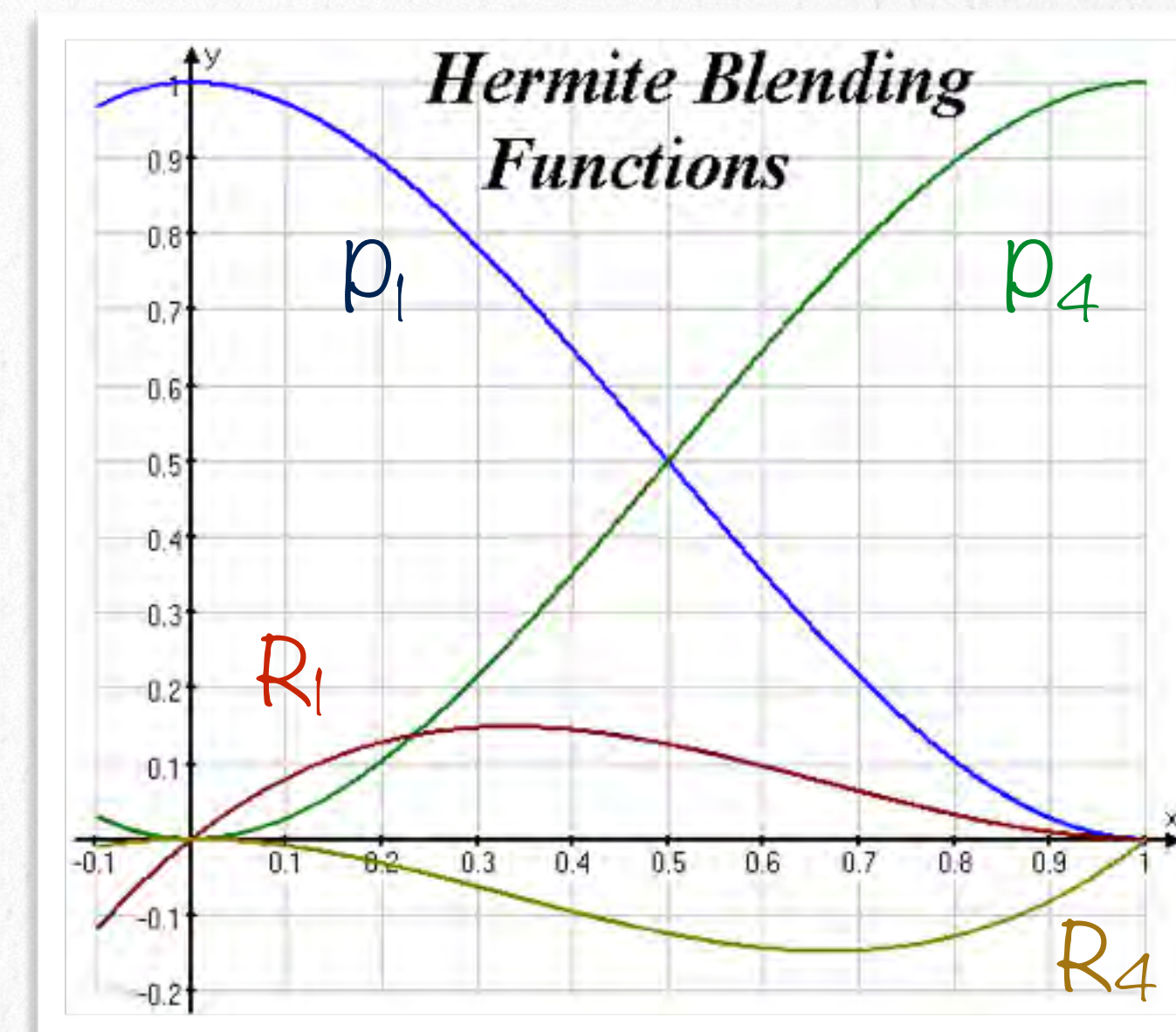
# Funciones de Blending : Hermite

$$Q(t) = T.M_H.G_H$$

$$B_H(t) = \begin{bmatrix} t^3 & t^2 & t & 1 \end{bmatrix} \begin{bmatrix} 2 & -2 & 1 & 1 \\ -3 & 3 & -2 & -1 \\ 0 & 0 & 1 & 0 \\ 1 & 0 & 0 & 0 \end{bmatrix}$$

$$Q(t) = B_H(t) \begin{bmatrix} P_1 \\ P_4 \\ R_1 \\ R_4 \end{bmatrix}$$

- $B_H(t)$  indica el peso de cada elemento en  $G_H$ .



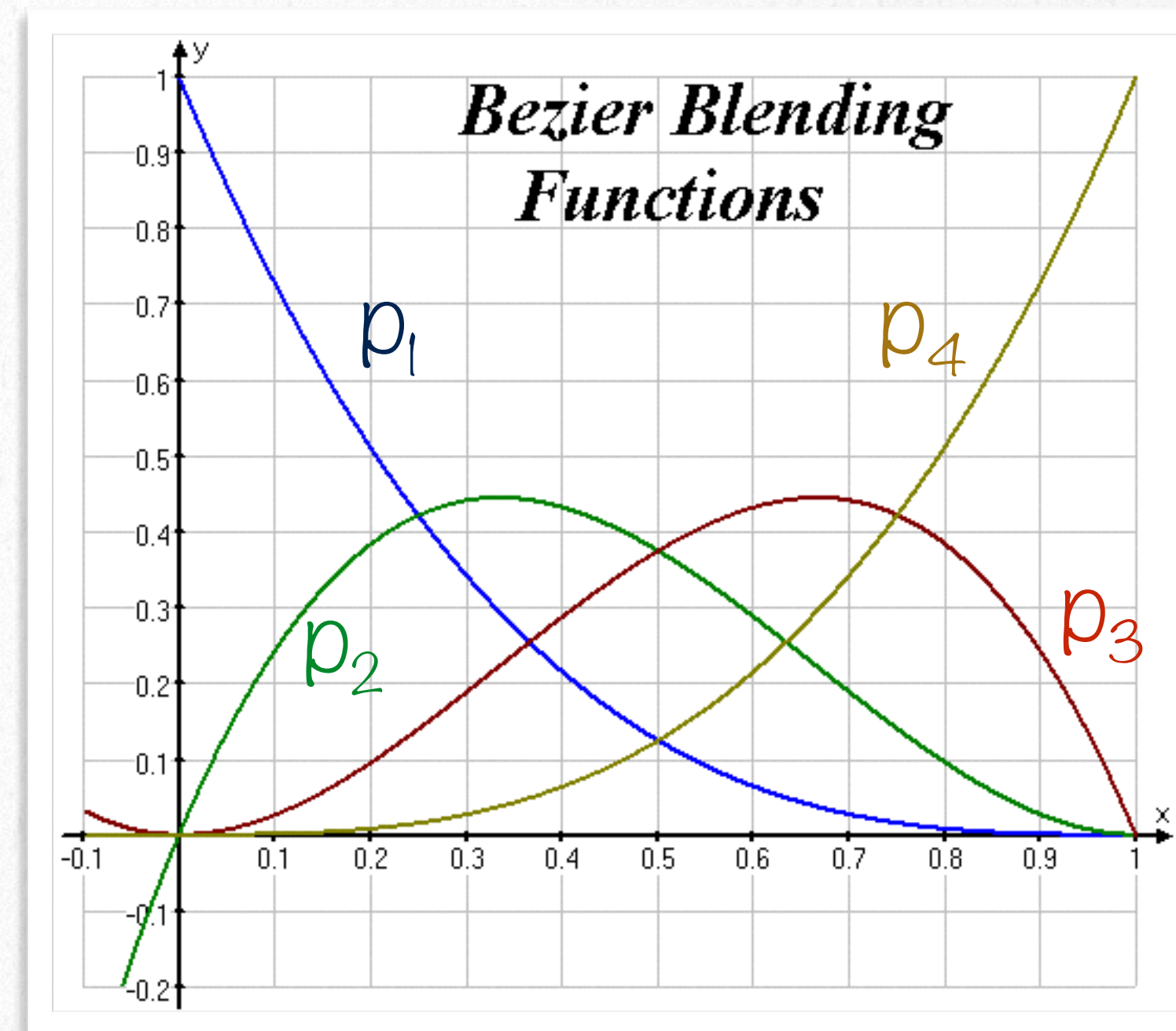


# Funciones de Blending : Bézier

$$B_B(t) = \begin{bmatrix} t^3 & t^2 & t & 1 \end{bmatrix} \begin{bmatrix} -1 & 3 & -3 & 1 \\ 3 & -6 & 3 & 0 \\ -3 & 3 & 0 & 0 \\ 1 & 0 & 0 & 0 \end{bmatrix}$$

$$Q(t) = B_B(t) \cdot \begin{bmatrix} P_1 \\ P_2 \\ P_3 \\ P_4 \end{bmatrix}$$

- Funciones de blending de Bézier o Polinomios de Bernstein.



<http://escience.anu.edu.au/lecture/cg/Spline/printCG.en.html>



## Algoritmo de Casteljau: caso cúbico

- Otra forma de construir las curvas de Bézier.
- Consideramos una polilínea con vértices  $P_1, P_2, P_3, P_4$  y un valor  $t \in [0,1]$ .
- Construir para  $i=1,2,3$  un punto:

$$P_i^{(1)}(t) = (1-t)P_i + tP_{i+1}$$

(I)            (I)            (I)

- Considerar luego la polilínea con vértices  $P_1^{(1)}(t), P_2^{(1)}(t), P_3^{(1)}(t)$ , construir para  $i=1,2$  el punto:

$$P_i^{(2)}(t) = (1-t)P_i^{(1)} + tP_{i+1}^{(1)}$$



## Algoritmo de Casteljau: caso cúbico

Finalmente tenemos:

$$Q(t) = P_i^{(3)}(t) = (1-t)P_i^{(2)} + tP_{i+1}^{(2)}$$

La curva  $Q:[0,1] \rightarrow \mathbb{R}^3$  es precisamente la curva de Bézier cúbica con  $P_1, P_2, P_3$  y  $P_4$  como puntos de control.



# Cubic Blend (por Casteljau)

$$P_0^1(u) = (1 - u)P_0 + uP_1$$

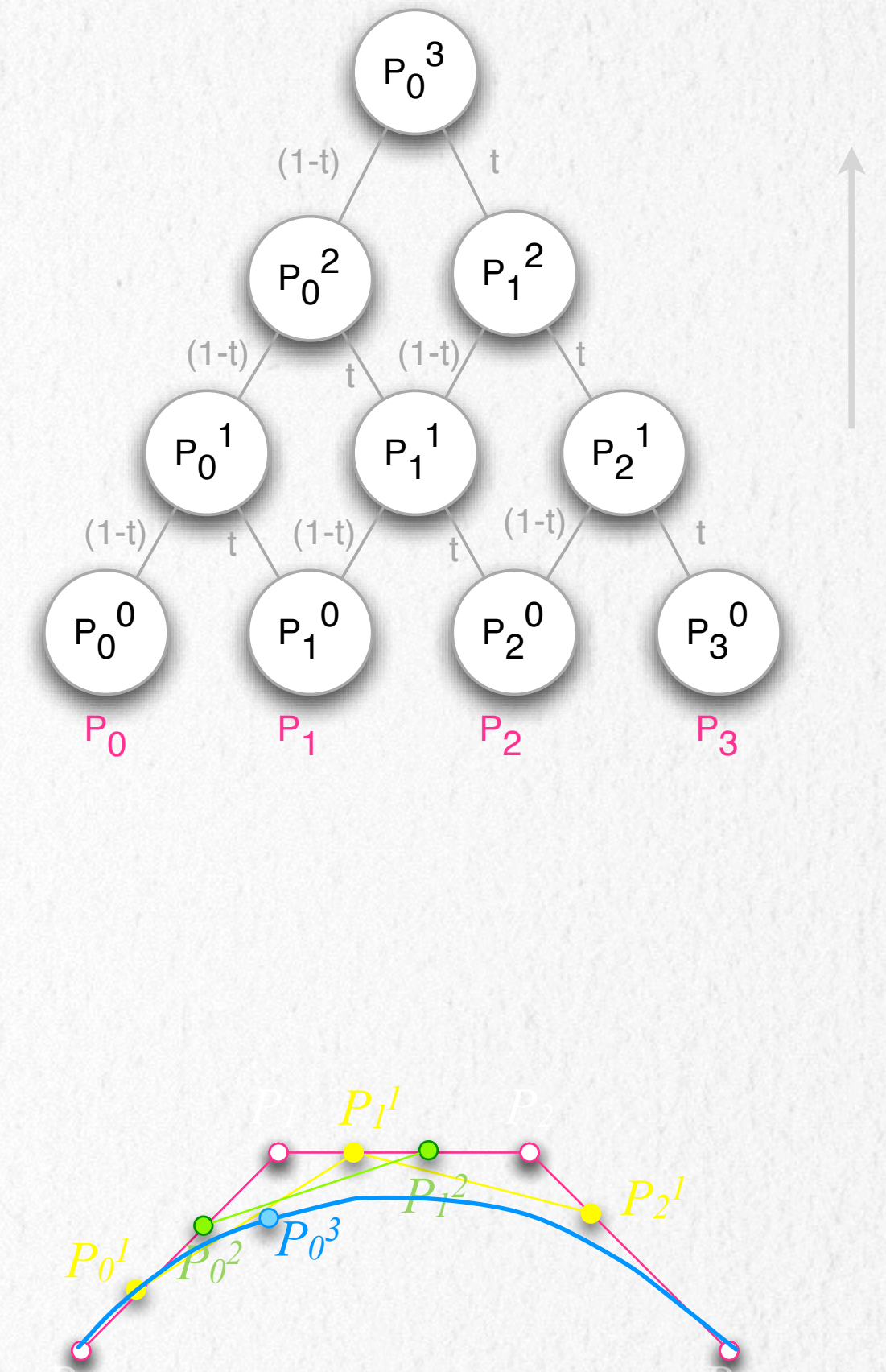
$$P_1^1(u) = (1 - u)P_1 + uP_2$$

$$P_2^1(u) = (1 - u)P_2 + uP_3$$

$$P_0^2(u) = (1 - u)P_0^1(u) + uP_1^1(u)$$

$$P_1^2(u) = (1 - u)P_1^1(u) + uP_2^1(u)$$

$$P_1^3(u) = (1 - u)P_0^2(u) + uP_1^2(u)$$





# Prueba

- Consideramos la curva  $Q(t)$  definida por el algoritmo de Casteljau.
- Notamos que es una curva cúbica que depende linealmente de los puntos de control. Tiene entonces la forma  $Q(t) = T.M_C.G_B$ .
- $T$  y  $B$  igual a Bézier.
- Mostrar entonces que  $M_C = M_B$  calculando  $Q(t)$  para puntos particulares.



## Curvas de Bézier de orden n

- Generalizar el algoritmo de Casteljau para  $n \geq 2$  puntos de control : curva de Bézier de orden  $n-1$ .
- Sean  $P_0, \dots, P_{n-1}$  puntos de control.
- Sea  $t \in [0,1]$
- Para definir  $Q(t)$ :
  - Hacemos  $b_i^{(0)}(t) = P_i$  para  $i=0, \dots, n-1$ .
  - Para  $r=1, \dots, n-1$  e  $i=0, \dots, n-1-r$ :
$$b_i^r(t) = (1-t)b_i^{r-1}(t) + tb_{i+1}^{r-1}(t)$$
  - definimos así por recurrencia un punto  $Q(t) = b_0^{n-1}(t)$

R. Malgouyres. Algorithmes pour la Synthèse d'images et l'animation 3D. Dunod, 2005.



# Ejercicio

Comprobar que para  $n=4$  obtenemos curvas de Bézier cúbicas.



# Polinomios de Bernstein

- Los polinomios de Bernstein  $B_{i,n}$  de grado  $n$  se definen para  $i=0,\dots,n$  con la fórmula:

$$B_{i,n}(t) = \frac{n!}{i!(n-i)!} t^i (1-t)^{n-i}$$

- Donde por convención  $0! = 1$ .

- Esto se puede escribir en términos de sus coeficientes binomiales:

$$B_{i,n}(t) = C_n^i t^i (1-t)^{n-i}$$

- Existen  $(n+1)$  polinomios de Bernstein de grado  $n$ .

R. Malgouyres. Algorithmes pour la Synthèse d'images et l'animation 3D. Dunod, 2005.



# Polinomios de Bernstein

## Teorema:

Los polinomios de Bernstein forman una base del espacio vectorial de polinomios de grado inferior o igual a  $n$ . Todo polinomio de grado inferior o igual puede entonces escribirse como una combinación lineal de los  $B_{i,n}$ . Se pueden descomponer las coordenadas de una curva de Bézier como combinaciones lineales de los  $B_{i,n}$ .

R. Malgouyres. Algorithmes pour la Synthèse d'images et l'animation 3D. Dunod, 2005.



# Polinomios de Bernstein

- Propiedades que nos sirven para el estudio de las curvas de Bézier:
  - Los polinomios de Bernstein tienen valores positivos o nulos en el intervalo  $[0,1]$ .
  - La suma de todos los polinomios de Bernstein es igual a 1.
- Para calcularlos podemos utilizar también:

$$B_{i,n}(t) = (1-t)B_{i,n-1} + tB_{i-1,n-1}$$



## Expresión de curvas de Bézier con los $B_{i,n}$

- Sean  $P_0, \dots, P_{n-1}$  puntos de control y  $t \in [0,1]$ .
- La curva de Bézier  $Q$  de orden  $(n-1)$  que tiene como puntos de control los puntos  $P_i$  se escribe:

$$Q(t) = \sum_{i=0}^{n-1} P_i B_{i,n-1}(t).$$

- De este modo, la curva  $Q$  se expresa como una suma de polinomios  $B_{i,n-1}$  ponderada por los puntos de control.

R. Malgouyres. Algorithmes pour la Synthèse d'images et l'animation 3D. Dunod, 2005.



## Derivada de una curva de Bézier

- Derivada de los polinomios de Bernstein:

$$\frac{d}{dt} B_{i,n}(t) = n (B_{i-1,n-1}(t) - B_{i,n-1}(t)).$$

- Derivada de una curva de Bézier.

$$\frac{d}{dt} Q(t) = (n - 1) \sum_{i=0}^{n-1} P_i (B_{i-1,n-2}(t) - B_{i,n-2}(t))$$

- Con la convención  $B_{-1,n-2} = B_{n-1,n-2} = 0$

R. Malgouyres. Algorithmes pour la Synthèse d'images et l'animation 3D. Dunod, 2005.



## Derivada de una curva de Bézier

- Utilizando el algoritmo de Casteljau se puede deducir la expresión:

$$\frac{d}{dt}Q(t) = \sum_{i=0}^{n-2} P'_i B_{i,n-2}(t).$$

- Donde  $P'_i = (n-1)(P_{i+1} - P_i)$  para  $i=0, \dots, n-2$ .
- Vemos de esto que la derivada de la curva de Bézier de orden  $(n-1)$  y con puntos de control  $P_i$ , es otra curva de Bézier de orden  $(n-2)$  y con puntos de control  $P'_i$ .
- Podemos entonces utilizar todos los algoritmos para calcular curvas de Bézier para calcular las derivadas de una curva de Bézier.



## Propiedades, ventajas e inconvenientes

- Invarianza Afín.
- invariantes por translación, rotación y cambio de escala.
- Envolverte convexo.
- todos los puntos de la curva se encuentran en el envolvente convexo de los puntos de control.



## Propiedades, ventajas e inconvenientes

- Control global.
- modificar un punto de control, afecta a toda la curva.
- Grado elevado.
- el grado de las curvas de Bézier depende del número de puntos de control.